

*Письма в ЖЭТФ, том 20, вып. 2, стр. 73 – 76*

20 июля 1974 г.

## ФАЗОВЫЙ ПЕРЕХОД АМОРФНОЕ СОСТОЯНИЕ – ПОЛИКРИСТАЛЛ В ФЕРРОМАГНИТНЫХ Со – Р ПЛЕНКАХ

*Л.А.Чеканова, Р.С.Исхаков, Г.И.Фиш, Р.Г.Хлебопрос,  
Н.С.Чистяков*

Методом спин-волнового резонанса ( $f = 9,2 \text{ Гц}$ ) исследованы фазовые переходы типа: аморфное состояние – кристаллическое; гексагональная структура – кубическая, в магнитных кобальт-fosфорных пленках (9 ат. % Р). Измерена температурная зависимость константы обменного взаимодействия  $A(T)$  в интервале  $300 - 700^{\circ}\text{K}$  при наличии указанных переходов.

Исследуемые образцы представляли собою трехслойные пленки, полученные методом химического осаждения [1]. Толщина основного (центрального) слоя составляла  $1000 - 3000 \text{ \AA}$ . Дополнительные слои толщиной  $200 - 300 \text{ \AA}$ , намагниченность которых была, соответственно, больше и меньше намагниченности основного слоя, наносились с целью создания специальных граничных условий (в данном случае антисимметричного закрепления). Использование таких граничных условий позволяет устранить возможное влияние изменения поверхностного закрепления в процессе нагревания образца на результаты измерения константы обмена [3]. В спектре СВР исследуемых пленок наблюдалось 9 – 11 мод, с добротностью  $H_p / \Delta H \sim 80$ . Квадратичная зависимость резонансного поля моды от ее номера позволяет использовать для определения константы обмена дисперсионное соотношение Киттеля. Точность измерения резонансных полей мод составляла  $\pm 0,2\%$ ; константы обмена –  $\pm 5\%$ .

На рис. 1 (кривая 1) представлена зависимость обменной константы от температуры. Кривая  $A(T)$  характеризуется двумя скачками: при температуре  $530^{\circ}\text{K}$  резкое уменьшение обменной константы, затем медленное из-

менение и при температуре  $640^{\circ}\text{K}$  реализуется второй скачок – резкое увеличение. Аналогичным образом изменяется резонансное поле основной моды спектра.

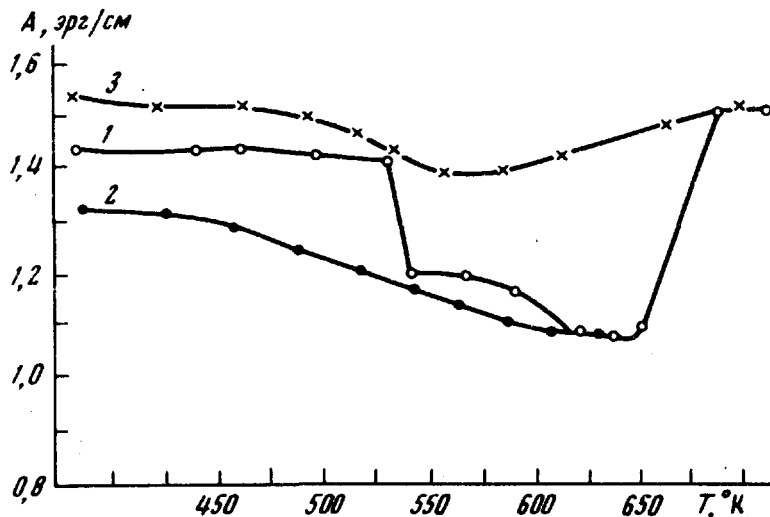


Рис. 1. Изменение константы обменного взаимодействия с температурой Co–P пленки: 1 – ход  $A(T)$  аморфного образца; 2 – ход  $A(T)$  после отжига при температуре  $570^{\circ}\text{K}$ ; 3 – ход  $A(T)$  после отжига при температуре  $690^{\circ}\text{K}$

Электронограммы и рентгенограммы полученных осадков в исходном состоянии характеризуются размытыми дифракционными максимумами, что свидетельствует об их аморфности (рис. 2, а). Аморфность Co – P пленок подтверждает анализ их термограмм для которых характерно наличие экзотермического пика при температуре  $530^{\circ}\text{K}$  соответствующего переходу из неравновесного (аморфного состояния) в равновесное [2].

На этих образцах были сняты рентгенограммы в области температур  $293 - 750^{\circ}\text{K}$  (рис. 2). В области температур  $510 - 550^{\circ}\text{K}$  появляются четкие рефлексы характеризующие гексагональный кобальт –  $\alpha$ -фазу. Рентгенограмма, характеризующая начало перехода в кристаллическое состояние ( $\alpha$ -Co), представлена на рис. 2, б. При температуре  $640 - 690^{\circ}\text{K}$  рентгенограммы свидетельствуют о происшедшем переходе  $\alpha$ -фазы в  $\beta$ -фазу. На рис. 2, в дана рентгенограмма, снятая при температуре  $690^{\circ}\text{K}$ . Пик наибольшей интенсивности этой рентгенограммы соответствует кубической фазе кобальта ( $\beta$ -Co). Термограмма пленок Co – P имеет два максимума, характеризующие экзотермическую реакцию. Один из максимумов расположен в области температур  $510 - 550^{\circ}\text{K}$ , второй –  $640 - 690^{\circ}\text{K}$ .

Изменение константы обменного взаимодействия в процессе охлаждения образцов от температуры  $570$  и  $690^{\circ}\text{K}$  представлены на рис. 1, соответственно кривыми 2 и 3. При последующих циклах нагревания и охлаждения образцов в указанных интервалах температур значения константы обменного взаимодействия в пределах ошибки измерения воспроизводились и соответствовали указанным кривым.

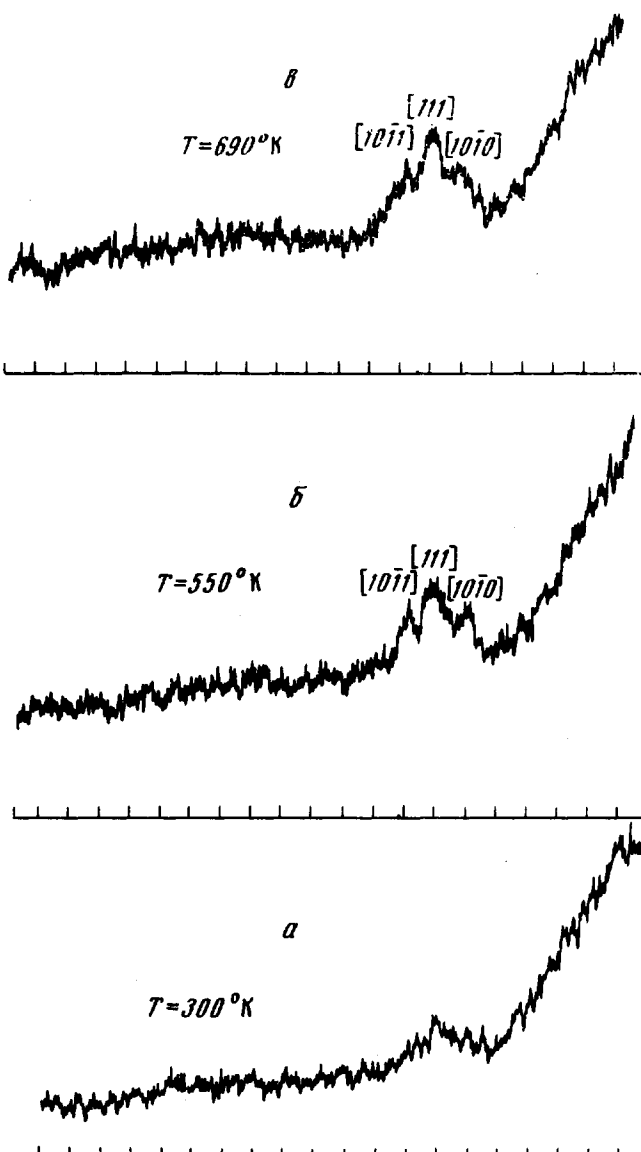


Рис. 2. а – Рентгенограмма аморфной Со – Р пленки ( $P = 9$  ат. %); б – рентгенограмма снятая в начальной стадии кристаллизации, рефлексы 1010, 1011 – характеризуют гексагональную фазу кобальта, 111 – кубическую; в – рентгенограмма, снятая в конечной стадии полиморфного перехода  $\alpha$  – Со –  $\beta$  – Со

Рассмотрим насколько полученная температурная зависимость обменной константы  $A(T)$  и термограмма Со – Р пленок "совместимы" с изменением теплового запаса  $Q = \int C_p dT$  с температурой как для кристаллической так и для аморфной модификаций. Как известно, полиморфные превращения  $\alpha$  – Со в  $\beta$  – Со происходят с малым изменением теплосодержания. Это связано с тем, что  $\alpha$  – Со и  $\beta$  – Со характеризуются одинаковыми координационными числами. При сопоставлении теплосодержания кристалла (кривая 1) и аморфного вещества (кривая 2) исходным репером может служить кривая  $Q = f(T)$  выше температуры плавления  $T_{\text{пл}}$  [4]. Величина  $\Delta Q$  (рис. 3) представляет собой скрытую теплоту плавления кристалла (для кобальта  $\Delta Q = 58,2$  кал/г). Эта теплота идет на разрушение дальнего кристаллографического порядка (часть  $\Delta Q_1$ ) и на перестройку ближнего порядка в соответствии со структурой жидкости при  $T_{\text{пл}}(\Delta Q_2)$ . Обычно  $\Delta Q_1$  и  $\Delta Q_2$  величины одно-

го порядка. При переходе расплав – аморфные вещества выделяется только  $\Delta Q_2$ , а величина  $\Delta Q_1$  является мерой неупорядоченности аморфного вещества.

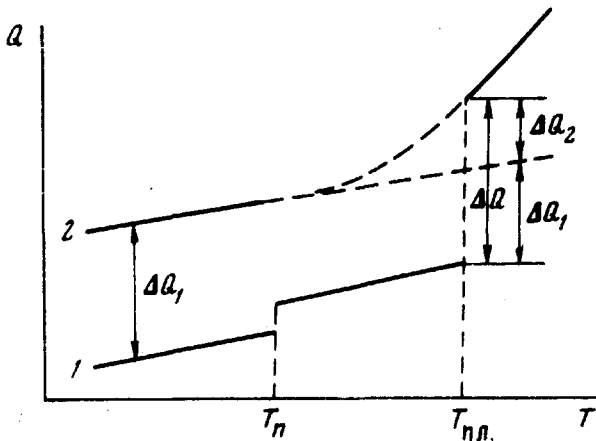


Рис. 3

Наиболее вероятным представляется нам следующее объяснение полученных результатов. Со – Р пленка была получена в неравновесном состоянии (кривая 2, рис. 3). Мерой неравновесности является величина  $\Delta Q_1$ . При нагревании в области температур около  $530^{\circ}\text{K}$  происходит необратимый переход в кристаллическую модификацию ( $\alpha$ -Со). При этом выделилось  $\Delta Q_1$  (на термограмме – большой пик). При дальнейшем нагревании происходит полиморфный переход  $\alpha$ -Со  $\rightarrow$   $\beta$ -Со, который идет с поглощением малого количества тепла ( $\Delta Q' = 1,05 \text{ кал/г}$ ). На термограмме при этой температуре виден малый пик выделения тепла. Дополнительные исследования показали, что в области  $640 - 690^{\circ}\text{K}$  происходит выпадение осадка – Со<sub>2</sub>Р, которое идет с выделением тепла [2]. По всей видимости это и отражается на термограмме.

Таким образом, кривая 3 рис. 1 характеризует кристаллическую пленку  $\beta$ -Со, кривая 1 рис. 1 соответствует аморфной фазе Со – Р пленки, ближний порядок которой аналогичен  $\beta$ -Со (рис. 3 кривая 2), пленке же, находящейся в гексагональной фазе, соответствует кривая 2 рис. 1.

Институт физики  
им. Л.В.Киренского  
Сибирское отделение  
Академии наук СССР

Поступила в редакцию  
30 января 1974 г.

### Литература

- [1] Л.В.Киренский, Н.С.Чистяков, Л.А.Чеканова, Б.П.Тушков, Г.И.Фиш. Физика магнитных пленок (Сб. статей) вып. III, 1970 г., Иркутск.
- [2] A.W.Simpson, D.R.Brambley. Phys. Stat. Sol. (b), 43, 291, 1971.
- [3] Ю.А.Корчагин, Р.Г.Хлебопрос, Н.С.Чистяков. ФТТ, 14, 2121, 1972; ФММ, 34, 1303, 1972.
- [4] А.Уббелоде. Плавление и кристаллическая структура, М., 1969 г.; П.П.Кобеко. Аморфные вещества, изд. АН СССР, 1952 г.